

فاصله‌یابی خطا در خطوط انتقال قدرت با در نظر گرفتن اثر تغییرات متغیرهای خط انتقال با فرکانس

جواد ساده (استادیار)

گروه برق دانشکده‌ی مهندسی، دانشگاه فردوسی مشهد

علی محمد رحبر (استاد)

دانشکده‌ی مهندسی برق، دانشگاه صنعتی شریف

در این نوشتار روشی جدید برای فاصله‌یابی خطا در خطوط طولانی انتقال قدرت با استفاده از اطلاعات یک طرف خط ارائه شده است. به منظور مدل‌سازی خط انتقال، مدل وابسته به فرکانس آن که از دقت بالایی در شبیه‌سازی پدیده‌های گذرا برخوردار است، در نظر گرفته شده است. برای تعیین محل خطا تنها نمونه‌های ولتاژ و جریان در یک طرف خط کافی است و نیازی به اطلاعات انتهایی دیگر خط نیست. در روش پیشنهادی نیازی به حذف مؤلفه‌ی d/c و فیلتر کردن هارمونیک‌های فرکانس بالا که اغلب در شکل موج‌های پس‌از وقوع خطا وجود دارند، نیست. در این نوشتار، نتایج حاصل از مقایسه‌ی الگوریتم پیشنهادی و الگوریتمی که اثر وابستگی متغیرهای خط به فرکانس را در نظر نمی‌گیرد، ارائه شده است. نتایج حاصل از شبیه‌سازی‌های رایانه‌ی دقت روش پیشنهادی را تأیید می‌کند.

مقدمه

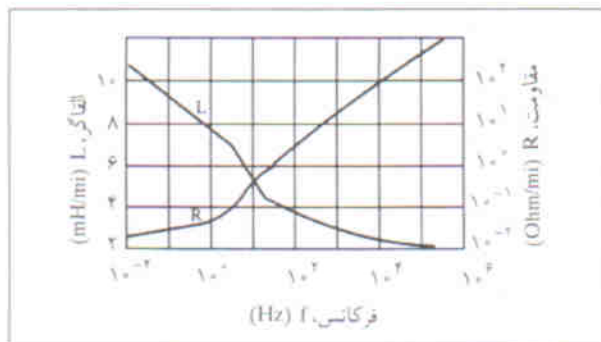
فاصله‌یابی خطا در سیستم انتقال توان الکتریکی به منظور تداوم سرویس‌دهی و عملکرد مطمئن سیستم امری ضروری به نظر می‌رسد. تعیین دقیق و سریع محل خطا بر روی خط انتقال به کاهش مدت زمان لازم برای بازگرداندن خط معیوب به سیستم منجر خواهد شد، که به نوبه‌ی خود افزایش قابلیت اطمینان سیستم را به دنبال دارد. برای دستیابی به دقت بالا در فاصله‌یابی خطا لازم است از مدل‌های دقیق خط انتقال استفاده شود. یکی از موضوعاتی که از دیرباز در مدل‌سازی خطوط انتقال در مطالعات گذراهای الکترومغناطیسی مورد توجه بوده است، وابستگی متغیرهای خط انتقال به فرکانس است. مدل‌هایی که متغیرهای آن ثابت است و با فرکانس تغییر نمی‌کند، قادر به شبیه‌سازی دقیق رفتار خط انتقال در محدوده‌ی فرکانسی وسیع موجود در سیگنال‌ها، در شرایط گذرا، نیستند. لذا ضروری است که مدل‌های وابسته به فرکانس در مدل‌سازی خطوط انتقال منظور شوند.

اگر از مدل خط با متغیرهای ثابت استفاده شود، نوسانات موجود در شکل موج ولتاژها و جریان‌ها نسبت به حالتی که در آن از مدل وابسته به فرکانس استفاده شود، هارمونیک خیلی بیشتری دارند.^[۱] محاسبه‌ی متغیرهای خطوط انتقال با کمک رابطه‌های کارلسون

به ویژه برای خطوطی با مسیر برگشت زمین (مؤلفه‌ی صفر) نشانگر

وابستگی زیاد این متغیرها به فرکانس است (شکل ۱).^[۱] با توجه به خطی بودن سیستم، قضیه‌ی جمع آثار صادق است و می‌توان از تبدیل فوریه برای رسیدن به پاسخ استفاده کرد. بنابراین ولتاژها و جریان‌های متغیر با زمان به حوزه‌ی فرکانس تبدیل شده و به کمک طیف آنها نمایش داده می‌شوند. سپس برای هر فرکانس خاص k با کمک شکل ۱ می‌توان متغیرهای متناظر را به دست آورده و برای آن محدوده‌ی فرکانسی خاص معادلات را حل کرد.

در نهایت تمام این پاسخ‌های جزئی را با یکدیگر تلفیق کرده، به کمک تبدیل معکوس فوریه به حوزه‌ی زمان برمی‌گردیم و پاسخ



شکل ۱. وابستگی R و L به فرکانس.

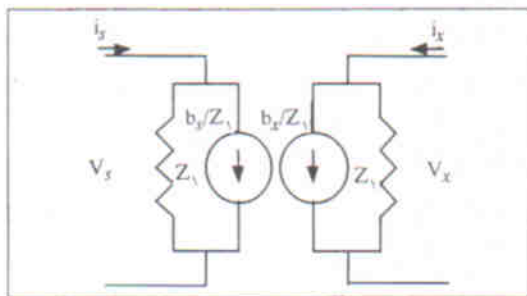
$$b_s(t) = \int_{-\infty}^{\infty} \{f_s(t-u)a_s(u) + f_s(t-u)a_s(u)\} du$$

$$b_x(t) = \int_{-\infty}^{\infty} \{f_x(t-u)a_s(u) + f_x(t-u)a_s(u)\} du \quad (5)$$

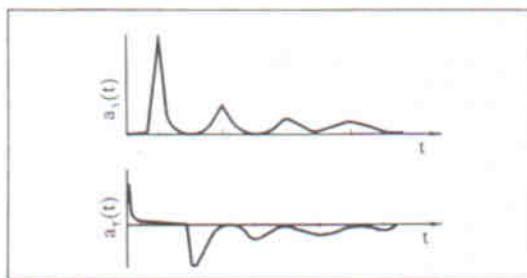
در این رابطه‌ها $a_s(t)$ و $a_r(t)$ تبدیل فوریه معکوس $A_s(\omega)$ و $A_r(\omega)$ هستند. مجموعه معادلات شماره ۱ به صورت مداری در شکل ۲ ترسیم شده‌اند و مقادیر b_s و b_x نیز از طریق رابطه‌های شماره‌ی ۵ قابل محاسبه‌اند. تابع‌های $a_s(t)$ و $a_r(t)$ که در این رابطه‌ها آمده‌اند، توابع وزنه نام دارند و برای هر خط خاص مقادیر مشخصی دارند. بنابراین قبل از شروع شبیه‌سازی می‌توان این توابع را محاسبه و در حافظه‌ی رایانه ذخیره کرد (شکل ۳).

مشکل عمده در کاربرد رابطه‌های شماره‌ی ۵، کران بالای انتگرال‌گیری است زیرا برای رعایت دقت باید حتی الامکان کران بالای انتگرال را بزرگ انتخاب کرد که این امر به افزایش فوق‌العاده‌ی زمان محاسبات منجر می‌شود. با توجه به شکل ۳، اگرچه ممکن است توابع $a_s(t)$ و $a_r(t)$ از جنبه‌ی نظری در زمان‌های طولانی ادامه داشته باشند، معمولاً برای زمان‌های بزرگ‌تر از 3τ (زمان سیر موج در طول خط انتقال است)، این توابع را می‌توان با دقت مناسبی به صورت یک یا چند تابع نمایی نشان داد.

مدل ارائه شده توسط میر-دامل [۲] به‌عنوان یکی از انتخاب‌های مدل خط انتقال، در نرم‌افزار EMTP وجود دارد. این مدل محدودیت‌هایی به شرح زیر دارد:



شکل ۲. ترسیم مداری مجموعه معادلات شماره‌ی ۱.



شکل ۳. توابع وزنه در مدل میر-دامل [۲].

کامل را به دست می‌آوریم. در بسیاری از کاربردها، شبیه‌سازی در حوزه‌ی زمان ضروری است. بنابراین می‌توان از نظریه‌ی پیچش^۱ (کانولوشن) در این مورد استفاده کرد.

مدل‌سازی خط انتقال بامتغیرهای وابسته به فرکانس^{۱۳-۱۱}

سلسون نشان داد که اگر متغیرهای ولتاژ و جریان در حوزه‌ی زمان با متغیرهای وابسته‌ی دیگری جایگزین شوند، به مقدار معتنابهی در محاسبات ریاضی صرفه‌جویی می‌شود.^[۱۲] این متغیرها که موج‌های پیشرو و پسرو نام دارند، به صورت زیر تعریف می‌شوند:

$$\begin{aligned} b_s &= V_s - Z_c i_s & b_x &= V_x - Z_c i_x \\ f_s &= V_s + Z_c i_s & f_x &= V_x + Z_c i_x \end{aligned} \quad (1)$$

$$Z_c = \lim_{\omega \rightarrow \infty} Z_c(\omega)$$

در این رابطه‌ها Z_c مقدار حدی امپدانس مشخصه خوانده می‌شود. زمانی که تبدیل حوزه‌ی فرکانسی رابطه‌های ۱ مورد نیاز است، به راحتی متغیر b_s با $B_s(\omega)$ جایگزین می‌شود. با به کار بردن این تبدیل، می‌توان معادلات شناخته شده‌ی خط انتقال در حوزه‌ی فرکانس را که به شکل زیرند:

$$\begin{cases} V_s(\omega) = \cosh(\gamma(\omega)x) V_x(\omega) - Z_c(\omega) \sinh(\gamma(\omega)x) I_x(\omega) \\ I_s(\omega) = \frac{1}{Z_c(\omega)} \sinh(\gamma(\omega)x) V_x(\omega) - \cosh(\gamma(\omega)x) I_x(\omega) \end{cases}$$

$$Z_c(\omega) = \sqrt{\frac{R + j\omega L}{G + j\omega C}} \quad \gamma(\omega) = \sqrt{(R + j\omega L)(G + j\omega C)} \quad (2)$$

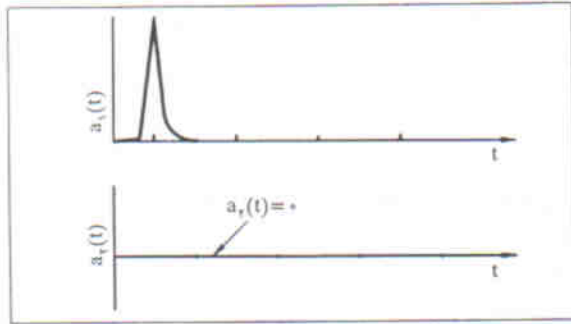
با تعاریف موج‌های پیشرو و پسرو به صورت زیر نوشت:

$$\begin{cases} B_s(\omega) = A_s(\omega) F_s(\omega) + A_r(\omega) F_x(\omega) \\ B_x(\omega) = A_s(\omega) F_s(\omega) + A_r(\omega) F_x(\omega) \end{cases} \quad (3)$$

در این رابطه داریم:

$$\begin{aligned} A_s(\omega) &= \frac{1}{\cosh(\gamma(\omega)x) + \frac{1}{\gamma} \left[\frac{Z_1}{Z_c} + \frac{Z_c}{Z_1} \right] \sinh(\gamma(\omega)x)} \\ A_r(\omega) &= \frac{1}{\gamma} \left[\frac{Z_c}{Z_1} - \frac{Z_1}{Z_c} \right] \sinh(\gamma(\omega)x) A_s(\omega) \end{aligned} \quad (4)$$

در این رابطه‌ها x فاصله از ابتدای خط انتقال است. با استفاده از مفهوم انتگرال پیچش می‌توان عبارت فوق را به حوزه‌ی زمان منتقل کرد:



شکل ۴. توابع وزنه در مدل مارتی.

در این رابطه داریم:

$$A_1(\omega) = e^{-r(\omega)x} = \frac{1}{\cosh(\gamma(\omega)x) + \sinh(\gamma(\omega)x)} \quad (8)$$

حوزهی زمانی $a_1(t)$ و $a_2(t)$ در شکل ۴ رسم شده است.^[۱] همچنین مدل حوزهی زمانی معادلات ۷ به کمک انتگرال پیچش به صورت زیر است:

$$b_1(t) = \int_0^{\infty} f_1(t-u) a_1(u) du \quad b_2(t) = \int_0^{\infty} f_2(t-u) a_2(u) du \quad (9)$$

کران پایین انتگرال‌های فوق از صفر به η تبدیل شده است، زیرا $a_1(t)$ برای زمان‌های قبل از η برابر صفر است. سادگی این رابطه‌ها نسبت به رابطه‌های مشابه در مدل میر-دامبل (رابطه‌ی ۵) آشکار است. تنها مشکل موجود در این مورد تقریب $Z_{eq}(\omega)$ است که به محاسبات اضافی نیاز دارد. اما این محاسبات می‌تواند به صورت جداگانه و خارج از حلقه‌ی اصلی برنامه صورت بگیرد.

در ادامه با استفاده از مدل تشریح شده، به ارائه‌ی الگوریتم فاصله‌یابی خطا می‌پردازیم:

الگوریتم جدید فاصله‌یابی خطا

در این بخش روش جدیدی برای فاصله‌یابی خطا در خطوط انتقال طولیل قدرت که متغیرهای آن تابع فرکانس فرض می‌شوند، ارائه می‌شود. برای یافتن محل خطا از معادلات تشریح شده در بخش پیشین استفاده می‌کنیم.

اتصال کوتاه سه‌فاز متقارن، بدون مقاومت خطا ابتدا ساده‌ترین حالت را در نظر می‌گیریم. فرض می‌کنیم اتصال کوتاه سه‌فاز متقارنی در فاصله‌ی x از ابتدای خط انتقال حادث شده است. اگر مقاومت خطا وجود نداشته باشد، یا در صورت وجود مقدار آن کم و قابل اغماض باشد، می‌توان نوشت:

۱. خطوط انتقال کاملاً جا به جا شده فرض می‌شوند؛

۲. وابستگی فرکانسی تنها در مؤلفه‌ی صفر منظور شده است؛

۳. برای تقریب توابع $a_1(t)$ و $a_2(t)$ در مورد زمان‌های بزرگ‌تر از 3τ از ساده‌ترین حالت که فقط یک تابع نمایی است استفاده شده است.

۴. فقط خطوط با هدایت موازی صفر ($G = 0$) بررسی شده‌اند.

مارتی برای سرعت بخشیدن به الگوریتم ارائه شده توسط میر-دامبل، روش دیگری ارائه داده است.^[۱] یکی از مشکلات عمده‌ی روش میر-دامبل محاسبه‌ی انتگرال‌های پیچش (روابط شماره‌ی ۵) است که در آنها توابع وزنه $a_1(t)$ و $a_2(t)$ برای مدتی نسبتاً طولانی حضور دارند. نکته‌ی قابل توجه این که در هر گام از اجرای الگوریتم اصلی، این انتگرال‌ها باید محاسبه شوند که امری است بسیار زمان‌بر. به‌عنوان مثال، زمان اجرا در هر گام زمانی، نسبت به حالتی که خط انتقال با متغیرهای مستقل از فرکانس مدل شود حدود ۳ برابر افزایش یافته است. این در حالی است که به‌دعای مارتی روش پیشنهادی وی به افزایش حدود ۱۰ تا ۳۰ درصد زمان اجرا منجر خواهد شد.^[۱]

یکی دیگر از مشکلات روش میر-دامبل این است که نمی‌توان کران بالایی انتگرال پیچش را به روشنی تعیین کرد، به گونه‌یی که نه از میزان دقت کاسته شود و نه محاسبات بیهوده انجام شود.

همانطور که میر-دامبل اظهار می‌دارند، توابع وزنه $a_1(t)$ و $a_2(t)$ را می‌توان به‌عنوان موج‌های رفت و برگشت در ابتدا و انتهای خط تعبیر کرد. به این ترتیب که خط یا تابع ضربه‌ی تحریک، و انتهای خط نیز به امیدانس مشخصه‌ی حدی، Z_1 متصل است. از آنجا که امیدانس مشخصه‌ی حدی، Z_1 ، با امیدانس مشخصه‌ی واقعی، Z_0 متفاوت است، موج‌های رفت و برگشت وجود خواهند داشت (شکل ۳). در روش مارتی از این نکته‌ی مهم استفاده شده که اگر خط انتقالی به امیدانس مشخصه‌اش ختم شود، دیگر هیچ موج برگشتی وجود نخواهد داشت. در این صورت اگر رابطه‌ی ۱ به صورت زیر بازنویسی شود داریم:

$$\begin{cases} F_1(\omega) = V_1(\omega) + Z_{eq}(\omega) I_1(\omega) \\ F_2(\omega) = V_2(\omega) + Z_{eq}(\omega) I_2(\omega) \end{cases} \quad (6.a)$$

$$\begin{cases} B_1(\omega) = V_1(\omega) - Z_{eq}(\omega) I_1(\omega) \\ B_2(\omega) = V_2(\omega) - Z_{eq}(\omega) I_2(\omega) \end{cases} \quad (6.b)$$

در این رابطه‌ها $Z_{eq}(\omega)$ امیدانس معادل شبکه‌ی خطی است که تقریبی است از $Z_0(\omega)$. با کمک رابطه‌های ۶ و ۲ می‌توان نوشت:

$$\begin{cases} B_1(\omega) = A_1(\omega) F_1(\omega) \\ B_2(\omega) = A_2(\omega) F_2(\omega) \end{cases} \quad (7)$$

می توان نوشت:

$$V_x(\omega) = \frac{B_x(\omega) + F_x(\omega)}{2} = 0 \rightarrow B_x(\omega) = -F_x(\omega) \quad \forall \omega \in \Omega \quad (10)$$

که در این رابطه Ω محدوده‌ی فرکانسی است که متغیرهای خط انتقال در این محدوده محاسبه شده‌اند. با کمک این رابطه و رابطه‌ی ۷ خواهیم داشت:

$$\frac{F_x^*(\omega) + B_x^*(\omega)}{2} + \frac{F_x^1(\omega) + B_x^1(\omega)}{2} + \frac{F_x^T(\omega) + B_x^T(\omega)}{2} = 0 \quad (17)$$

حال با کمک معادلاتی مشابه آنچه که در رابطه‌ی ۷ آمده است می توان برای هر $\omega \in \Omega$ نوشت:

$$e^{-\gamma^*(\omega)x} F_x^*(\omega) + e^{\gamma^*(\omega)x} B_x^*(\omega) + e^{-\gamma^1(\omega)x} F_x^1(\omega) + e^{\gamma^1(\omega)x} B_x^1(\omega) + e^{-\gamma^T(\omega)x} F_x^T(\omega) + e^{\gamma^T(\omega)x} B_x^T(\omega) = 0 \quad (18)$$

مانند حالت قبل، در اینجا نیز فقط یک مجهول (x : فاصله تا محل خطا) وجود دارد در حالی که N معادله داریم (N تعداد نمونه‌های فرکانسی است). در این حالت نیز می توان به کمک روش تکراری نیوتن-رافسون محل خطا را تعیین کرد.

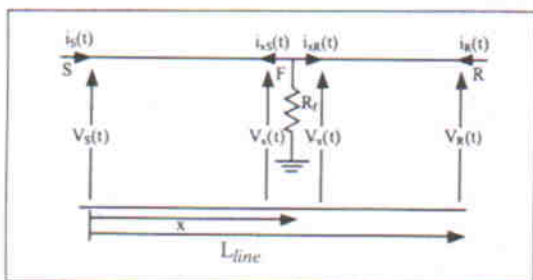
اتصال کوتاه سه فاز متقارن، با حضور مقاومت خطا برای بررسی این حالت شکل ۵ را در نظر بگیرید. در مورد بخش اول خط (از ابتدا تا محل خطا) می توان رابطه‌های زیر را بیان کرد:

$$\begin{cases} V_x(\omega) = \cosh(\gamma(\omega)x) V_x(\omega) - Z_c(\omega) \sinh(\gamma(\omega)x) I_{xs}(\omega) \\ I_x(\omega) = \frac{1}{Z_c(\omega)} \sinh(\gamma(\omega)x) V_x(\omega) - \cosh(\gamma(\omega)x) I_{xs}(\omega) \end{cases} \quad (19)$$

در این بخش از خط، مانند آنچه که برای تعریف توابع وزنی در حالت قبل انجام شد، امواج سیار پیشرو و پسرو را به صورت زیر بیان می کنیم:

$$\begin{cases} F_x(\omega) = V_x(\omega) + Z_{eq}(\omega) I_x(\omega) \\ F_{xs}(\omega) = V_x(\omega) + Z_{eq}(\omega) I_{xs}(\omega) \end{cases} \quad (20)$$

$$\begin{cases} B_x(\omega) = V_x(\omega) - Z_{eq}(\omega) I_x(\omega) \\ B_{xs}(\omega) = V_x(\omega) - Z_{eq}(\omega) I_{xs}(\omega) \end{cases} \quad (21)$$



شکل ۵. سیستم فرضی مورد مطالعه.

در این رابطه فقط یک مجهول وجود دارد. از طرف دیگر چون رابطه‌ی فوق به ازاء جمع ω ها صادق است، تعداد زیادی معادله خواهیم داشت. برای یافتن بهترین پاسخ - با در نظر گرفتن تمامی نمونه‌های فرکانسی - از روش ترکیبی نیوتن-رافسون و نیز روش تخمین کمترین مربعات خطا استفاده می کنیم. در حالت کلی معادله‌ی فوق را می توان به صورت زیر نوشت:

$$F(x) = 0 \quad (12)$$

در این رابطه F برداری است که ابعاد آن تابع نمونه‌های فرکانسی موجود است. بر اساس روش نیوتن-رافسون می توان نوشت:

$$\left[\frac{\partial F}{\partial x} \right] \Delta x \cong -F(x) \quad (13)$$

و با کمک روش تخمین کمترین مربعات خطا خواهیم داشت:

$$\Delta x = - \left[\left[\frac{\partial F}{\partial x} \right]^T \left[\frac{\partial F}{\partial x} \right] \right]^{-1} \left[\frac{\partial F}{\partial x} \right]^T F(x) \quad (14)$$

در این رابطه T عملگر جابه جایی بردار است. به این ترتیب ابتدا با انتخاب مقدار اولیه‌ی برای مکان خطا، محاسبات را شروع و در هر مرحله میزان تصحیح این تخمین را محاسبه می کنیم. این فرایند تکراری تا همگرایی کامل ادامه می یابد.

اتصال کوتاه تک فاز، بدون مقاومت خطا

برای بررسی اتصال کوتاه‌های نامتقارن از مؤلفه‌های مودال^۲ برای حذف اثرات فازهای مختلف بر یکدیگر استفاده می کنیم. فرض می کنیم در نقطه‌ی F به فاصله‌ی x از ابتدای خط انتقال، اتصال کوتاه تک‌فازی حادث شده باشد. در این صورت می توان نوشت:

$$V_x^a(\omega) = 0 \quad (15)$$

و در شکل مؤلفه‌های مودال خواهیم داشت:

$$V_x^*(\omega) + V_x^1(\omega) + V_x^T(\omega) = 0 \quad (16)$$

در اینجا ($j = 0, 1, 2$) مؤلفه‌های نمایی ولتاژ در محل اتصال کوتاه و در حوزه‌ی فرکانس است. با توجه به رابطه‌های موجود

از مقایسه‌ی روابط ۲۰ و ۲۱ با رابطه‌ی ۱۹ می‌توان نوشت:

$$\frac{-R_f}{Z_{eq}(\omega)} \left[\frac{\left(\frac{1}{A_1}\right) B_s + A_1 F_s}{2} + \frac{\left(\frac{1}{A_r}\right) B_R - A_r F_R}{2} \right] \quad (30)$$

$$\begin{cases} B_s(\omega) = A_1(\omega) F_{xs}(\omega) \\ B_{xs}(\omega) = A_1(\omega) F_s(\omega) \end{cases} \quad (22)$$

در این رابطه داریم:

$$A_1(\omega) = e^{-\gamma(\omega)x} = \frac{1}{\cosh(\gamma(\omega)x) + \sinh(\gamma(\omega)x)} \quad (23)$$

به همین روش، برای نیمه‌ی دوم خط (از محل اتصال کوتاه تا انتها) می‌توان نوشت:

$$\begin{cases} V_x(\omega) = \cosh[\gamma(\omega)(l-x)] V_R(\omega) - Z_c(\omega) \sinh[\gamma(\omega)(l-x)] I_R(\omega) \\ I_{xR}(\omega) = \frac{1}{Z_c(\omega)} \sinh[\gamma(\omega)(l-x)] V_R(\omega) - \cosh[\gamma(\omega)(l-x)] I_R(\omega) \end{cases} \quad (24)$$

l طول کل خط انتقال است. به همین ترتیب، تعاریف زیر را برای این قسمت انجام می‌دهیم:

$$\begin{cases} F_R(\omega) = V_R(\omega) + Z_{eq}(\omega) I_R(\omega) \\ F_{xR}(\omega) = V_x(\omega) + Z_{eq}(\omega) I_{xR}(\omega) \end{cases} \quad (25)$$

$$\begin{cases} B_R(\omega) = V_R(\omega) - Z_{eq}(\omega) I_R(\omega) \\ B_{xR}(\omega) = V_x(\omega) - Z_{eq}(\omega) I_{xR}(\omega) \end{cases} \quad (26)$$

از مقایسه‌ی روابط ۲۵ و ۲۶ با رابطه‌ی ۲۴ می‌توان نوشت:

$$\begin{cases} B_R(\omega) = A_r(\omega) F_{xR}(\omega) \\ B_{xR}(\omega) = A_r(\omega) F_R(\omega) \end{cases} \quad (27)$$

در این رابطه داریم:

$$A_r(\omega) = e^{-\gamma(\omega)(l-x)} = \frac{1}{\cosh[\gamma(\omega)(l-x)] + \sinh[\gamma(\omega)(l-x)]} \quad (28)$$

در محل خطا می‌توان رابطه‌ی زیر را نوشت:

$$V_x(\omega) = -R_f [I_{xs}(\omega) + I_{xR}(\omega)] \quad (29)$$

با کمک روابطی که تاکنون به دست آمده است، می‌توان رابطه‌ی فوق را برحسب اندازه‌های ابتدا و انتهای خط انتقال به صورت زیر بازنویسی کرد:

$$\frac{\left(\frac{1}{A_1}\right) B_s + A_1 F_s}{2} =$$

همچنین با توجه به پیوستگی ولتاژ در محل اتصال کوتاه، خواهیم داشت:

$$V_x(\omega) = \frac{\left(\frac{1}{A_1}\right) B_s + A_1 F_s}{2} = \frac{\left(\frac{1}{A_r}\right) B_R + A_r F_R}{2} = V_x(\omega) \quad (31)$$

با استفاده از رابطه‌های ۳۰ و ۳۱ می‌توان نوشت:

$$F_R(\omega) = \frac{1}{2A_r} \left\{ \left[2 + \frac{Z_{eq}(\omega)}{R_f} \right] \frac{1}{A_1} B_s(\omega) + \frac{Z_{eq}(\omega)}{R_f} A_1 F_s(\omega) \right\} \quad (32)$$

$$B_R(\omega) = \frac{A_r}{2} \left\{ \frac{-Z_{eq}(\omega)}{R_f} \frac{1}{A_1} B_s(\omega) + \left[2 - \frac{Z_{eq}(\omega)}{R_f} \right] A_1 F_s(\omega) \right\} \quad (33)$$

چون معادلات ۳۲ و ۳۳ به‌ازاء هریک از نمونه‌های فرکانسی صادق‌اند، اگر N نمونه‌ی فرکانسی داشته باشیم، $2N$ معادله در اختیار خواهیم داشت. این در حالی است که تعداد مجهولات $2N+2$ است. این مجهولات عبارتند از: $R_f, x, V_R(\omega), I_R(\omega)$. لذا برای حل چنین سیستمی به فرض دیگری نیاز داریم. در طی چند دوره پس از وقوع خطا، شبکه‌ی انتهایی خط را می‌توان یا مدل تونن آن جایگزین کرد.^[۴] ولتاژ تونن در طی چند دوره‌ی اولیه پس از وقوع خطا ثابت فرض می‌شود. براین اساس می‌توان نوشت:

$$V_R(\omega) = E_R(\omega) - Z_R(\omega) I_R(\omega) \quad (34)$$

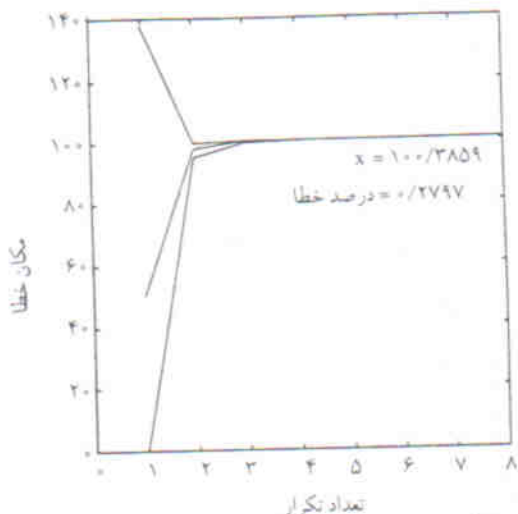
در این رابطه $E_R(\omega)$ ولتاژ مدارباز انتهای خط مورد مطالعه است. اکنون با کمک $3N$ رابطه‌ی ۳۲ تا ۳۴ می‌توان $2N+2$ مجهول به دست آورد. برای این کار می‌توان $2N$ مجهول $I_R(\omega)$ و $V_R(\omega)$ را بین این $3N$ معادله حذف کرد و رابطه‌ی زیر را به دست آورد:

$$F(x, R_f, \omega) = 0 \quad (35)$$

برای حل این رابطه می‌توان از روش تخمین کمترین مربعات خطا استفاده کرد. لازم به یادآوری است که از چنین فرایندهایی می‌توان برای اتصال کوتاه‌های نامتقارن به همراه مقاومت نیز استفاده کرد.

ارزیابی روش ارائه شده

برای ارزیابی روش پیشنهادی، یک خط انتقال 500 km ، 138 مایل



شکل ۸ همگرایی در روش نیوتن-رافسون (اتصال کوتاه در ۱۰۰ مایلی، زاویه‌ی شروع خطا ۹۰ درجه و مقاومت خطا ۵۰ اهم).

متغیرهای خط انتقال، به ایجاد هارمونیک‌های بسیار در شکل موج ولتاژها و جریان‌ها می‌انجامد (شکل‌های ۶ و ۷).

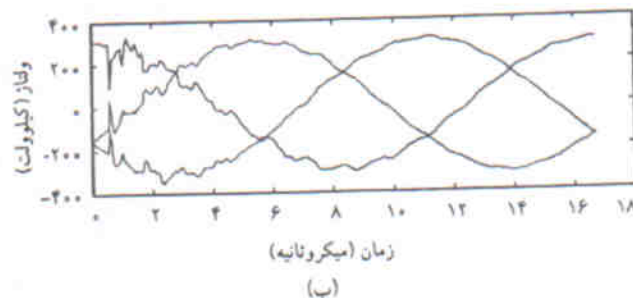
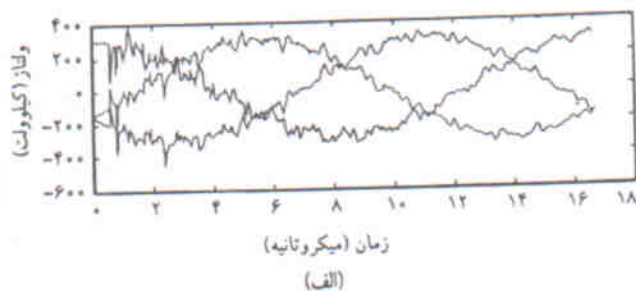
گفتیم که برای یافتن محل خطا از روش تکراری نیوتن-رافسون استفاده می‌کنیم. برای اتصال کوتاه تشریح شده در این بخش، نحوه‌ی دستیابی به جواب نهایی در مورد مقدارهای تخمینی اولیه‌ی متفاوت (صفر، ۵۰ و ۱۳۸ مایل) در شکل ۸ نشان داده شده است. می‌بینیم که جواب نهایی در هر سه حالت - با رعایت دقت ۰/۲۸ درصد - برابر ۱۰۰/۳۸ مایل است.

به منظور بررسی دقت روش در شرایط گوناگون از جمله زوایای شروع متفاوت، مکان‌های متفاوت خطا، و مقاومت‌های متفاوت خطا، شبیه‌سازی‌های متعددی صورت گرفته است. جدول ۱ برخی از این نتایج را نشان می‌دهد.

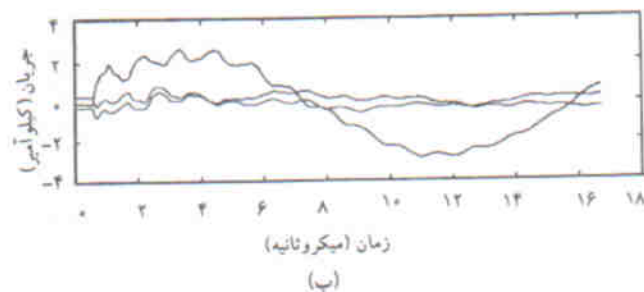
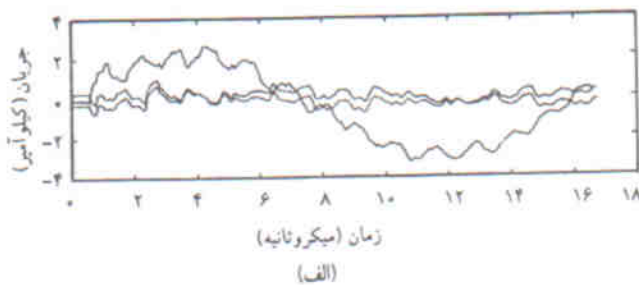
مقایسه‌ی الگوریتم‌های فاصله‌یابی خطا

در این بخش هدف مقایسه‌ی دو الگوریتم فاصله‌یابی خطا با فرض وابستگی یا عدم وابستگی متغیرهای خط انتقال به فرکانس است. برای انجام این مقایسه از الگوریتمی که نگارندگان این نوشتار برای فاصله‌یابی خطا در خطوط انتقال بدون در نظر گرفتن اثر فرکانس ارائه کرده‌اند استفاده شده است. [۷-۵] به همین منظور لازم است خط انتقالی را مد نظر قرار دهیم که اطلاعاتی از ساختار دکل‌ها و محل نصب هادی‌ها بر روی این دکل‌ها در اختیار باشد. بنابراین خط انتقال ۵۰۰ کیلو ولت و ۱۳۸ مایل - که از آن در پرونده‌های مثال برنامه‌ی EMTP برای شبیه‌سازی‌های مختلف استفاده شده است - انتخاب شد. مدل‌سازی وابسته به فرکانس این خط انتقال در نرم‌افزار EMTP صورت گرفته و به‌ازاء مکان‌های مختلف خطا، مقاومت‌های گوناگون

توسط نرم‌افزار EMTP مدل‌سازی و شبیه‌سازی شده است. به عنوان نمونه برای یک اتصال کوتاه تک‌فاز به زمین در ۱۰۰ مایلی از ابتدای خط با مقاومت خطای ۵۰ اهم، ولتاژها و جریان‌های باس ابتدای خط در شکل‌های ۶ و ۷ ترسیم شده‌اند. برای انجام مقایسه، شبیه‌سازی در دو حالت - حالت اول، ثابت در نظر گرفتن متغیرهای خط انتقال و حالت دوم وابسته فرض کردن آنها به فرکانس - شکل گرفته است. همان‌طور که در مقدمه اشاره شد، شبیه‌سازی با فرض ثابت بودن



شکل ۶. ولتاژهای ابتدای خط انتقال: الف) متغیرهای ثابت؛ ب) متغیرهای تابع فرکانس. (اتصال کوتاه در ۱۰۰ مایلی، زاویه‌ی شروع خطا ۹۰ درجه، مقاومت خطا ۵۰ اهم).



شکل ۷. جریان‌های ابتدای خط انتقال: الف) متغیرهای ثابت؛ ب) متغیرهای تابع فرکانس. (اتصال کوتاه در ۱۰۰ مایلی، زاویه‌ی شروع خطا ۹۰ درجه، مقاومت خطا ۵۰ اهم).

جدول ۱. برخی از نتایج تعیین محل خطا با فرض وابستگی متغیرها به فرکانس

۱۰۰ مایل		۸۰ مایل		۵۰ مایل		محل خطا
۹۰ درجه	صفر درجه	۹۰ درجه	صفر درجه	۹۰ درجه	صفر درجه	زاویه‌ی شروع خطا
۱۰۰/۳۸۵۹ (درصد ۰/۳۷۹۷)	۱۰۰/۱۶۱۵ (درصد ۰/۱۱۷۱)	۸۰/۳۲۰۸ (درصد ۰/۲۳۲۵)	۸۰/۳۳۸۴ (درصد ۰/۲۴۵۲)	۵۰/۳۳۱۶ (درصد ۰/۲۴۰۳)	۵۰/۱۵۵۰ (درصد ۰/۱۱۲۳)	مقاومت خطای ۵ اهم
۱۰۰/۳۸۵۹ (درصد ۰/۳۷۹۷)	۱۰۱/۳۲۷۸ (درصد ۰/۹۶۲۲)	۸۰/۴۳۹۹ (درصد ۰/۳۱۸۷)	۸۰/۷۹۲۳ (درصد ۰/۵۷۴۲)	۵۰/۴۰۵۰ (درصد ۰/۲۹۳۵)	۵۰/۴۸۱۵ (درصد ۰/۳۲۸۹)	مقاومت خطای ۵۰ اهم

جدول ۲. نتایج تعیین محل خطا در مکان‌های مختلف اتصال کوتاه (بدون مقاومت خطا)

۱۰۰ مایل		۸۰ مایل		۵۰ مایل		محل خطا
۹۰ درجه	صفر درجه	۹۰ درجه	صفر درجه	۹۰ درجه	صفر درجه	زاویه‌ی شروع خطا
۱۰۰/۳۷۲۷ (درصد ۰/۳۷۰۱)	۱۰۰/۹۰۶۴ (درصد ۰/۶۵۶۷)	۸۰/۳۲۱۲ (درصد ۰/۲۳۳۴)	۸۰/۵۳۷۵ (درصد ۰/۳۸۹۵)	۵۰/۳۲۴۴ (درصد ۰/۲۳۵۰)	۵۰/۳۵۴۶ (درصد ۰/۲۵۷۰)	متغیرهای وابسته به فرکانس
۱۰۴/۴۱۴۹ (درصد ۲/۴۷۴۵)	۱۰۶/۴۵۶۵ (درصد ۴/۶۷۸۶)	۸۳/۶۴۴۴ (درصد ۲/۶۴۰۹)	۸۳/۶۴۴۴ (درصد ۲/۶۴۰۹)	۵۴/۷۴۹۰ (درصد ۳/۴۴۱۳)	۵۱/۷۰۷۲ (درصد ۱/۲۲۷۳)	متغیرهای ثابت

جدول ۳. نتایج تعیین محل خطا در مکان‌های مختلف اتصال کوتاه (مقاومت خطا ۵ اهم)

۱۰۰ مایل		۸۰ مایل		۵۰ مایل		محل خطا
۹۰ درجه	صفر درجه	۹۰ درجه	صفر درجه	۹۰ درجه	صفر درجه	زاویه‌ی شروع خطا
۱۰۰/۳۸۵۹ (درصد ۰/۳۷۹۷)	۱۰۱/۳۲۷۸ (درصد ۰/۹۶۲۲)	۸۰/۴۳۹۹ (درصد ۰/۳۱۸۷)	۸۰/۷۹۲۳ (درصد ۰/۵۷۴۲)	۵۰/۴۰۵۰ (درصد ۰/۲۹۳۵)	۵۰/۴۸۱۵ (درصد ۰/۳۲۸۹)	متغیرهای وابسته به فرکانس
۱۰۴/۹۳۵۷ (درصد ۳/۵۷۶۶)	۱۱۴/۶۶۰۵ (درصد ۱۰/۱۸۹)	۸۶/۶۸۶۰ (درصد ۴/۸۴۴۹)	۹۱/۲۴۸۲ (درصد ۸/۱۵۱۰)	۵۴/۷۴۹۰ (درصد ۳/۴۴۱۳)	۵۷/۷۹۰۷ (درصد ۵/۶۴۵۴)	متغیرهای ثابت

نتیجه گیری

در این نوشتار، روش نوین برای فاصله یابی خطا در خطوط انتقال قدرت ارائه شد. مدل وابسته به فرکانس جهت مدل سازی دقیق رفتار خط انتقال مورد استفاده قرار گرفته است. استفاده از اطلاعات یک طرف خط انتقال، عدم نیاز به حذف هارمونیک‌های مختلف از شکل موج‌های دریافتی، دقت بالا، حساسیت کم نسبت به تغییر زاویه‌ی شروع خطا، مقاومت خطا و محل خطا از جمله مزایای روش پیشنهادی است.

نتایج شبیه سازی‌های متعددی که بر روی یک شبکه‌ی نمونه انجام شده، مؤید کارایی الگوریتم ارائه شده است. نتایج حاصل از مقایسه‌ی الگوریتم پیشنهادی و الگوریتمی که اثر وابستگی متغیرهای خط به فرکانس را در نظر نمی‌گیرد، نشانگر ضرورت مدل سازی دقیق خط انتقال به منظور دستیابی به دقت بالا در تعیین محل خطاست.

خطا، و زاویه‌ی شروع خطای متفاوت شبیه سازی‌های متعددی صورت گرفته است. اطلاعات ولتاژ و جریان در باس ابتدای خط انتقال حاصل از این شبیه سازی‌ها به عنوان اطلاعات ورودی الگوریتم‌ها برای انجام مقایسه مورد استفاده قرار گرفته است. دلیل این انتخاب، نزدیکی شکل موج‌های واقعی اندازه گیری شده به نتایجی است که از شبیه سازی‌های خط انتقال با فرض وابستگی متغیرهای آن به فرکانس به دست می‌آید. در جدول‌های ۲ و ۳ برخی از نتایج این مقایسه آورده شده است. در جدول ۲ فرض بر این است که $R_f = 0$ (مقاومت خطا وجود ندارد)، در حالی که در جدول ۳ نتایج حاصل از وجود مقاومت خطایی برابر ۵۰ اهم ارائه شده است.

با مشاهده‌ی نتایج درج شده در این جدول‌ها واضح است که برای دستیابی به دقت مطلوب در فاصله یابی خطا، استفاده از الگوریتم مبتنی بر در نظر گرفتن اثر وابستگی متغیرهای خط انتقال به فرکانس مفید به نظر می‌رسد.

- Power Apparatus and Systems*, **PAS-93**, pp. 1401-1409 (Sept/Oct., 1974).
- Westlin, S.E. and Bubenko, J.A., "Newton-Raphson technique applied to the fault location problem," Paper No.A76334-3, *IEEE PES Summer Meeting*, Portland, OR, (July, 1976).
 - Sadeh, J. and Ranjbar, A.M. "A new algorithm for fault location in power transmission lines," *Proceedings of the American Power Conference (APC' 99)*, 61st. Annual Meeting, Chicago, Illinois, pp. 458-462.
 - Sadeh, J. and Ranjbar, A.M. "An accurate fault location algorithm for power transmission lines," *European Transaction on Electrical Power (ETEP)*, **10**(5), pp. 313-318 (Sept/Oct 2000).
 - Sadeh, J., Ranjbar, A.M., Hadjsaid, N. Feuillet, R. and T. Tran-Quoc, "New method for fault location in power transmission lines using one terminal data," *IEEE PowerTech' 99 Conference*, Budapest, Hungary, (1999).

- convolution
- weighting functions
- modal components

منابع

- Marti, J.R. "Accurate modelling of frequency-dependent transmission lines in electromagnetic transient simulations," *IEEE Transactions on Power Apparatus and Systems*, **PAS-101**(1), pp. 147-157 (Jan, 1982).
- Snelson, J.K. "Propagation of travelling waves on transmission lines-frequency dependent parameters," *IEEE Transactions on Power Apparatus and Systems*, **PAS-91**, pp. 85-91 (Jan/Feb., 1972).
- Meycr, W.S. and Dommel, H.W., "Numerical modelling of frequency-dependent transmission line parameters in an electromagnetic transient program," *IEEE Transactions on*